

与线性正则变换相关的模糊函数

Tian-Wen Che, Bing-Zhao Li* and Tian-Zhou Xu

*通信: li_bingzhao@bit.edu.cn, 北京理工大学数学学院, 北京 100081, 中国

2012 Che et al; licensee Springer.这是一篇根据只是共享署名许可(<http://creativecommons.org/licenses/by/2.0>)条款发布的开放存取文章, 该许可允许在任何媒体上不受限制地使用、传播和复制, 但须适当引用原作

摘要

本文提出了一种与线性正则变换(LCT)相关的新型模糊函数(AF), 这种新型 AF 基于 LCT 和传统 AF。首先, 研究了新型 AF 的主要特性和物理意义, 结果表明, 这种 AF 可以被看作是经典 AF 的一个推广。然后, 通过结合经典 Radon 变换, 新型 AF 被应用于检测线性调频信号。仿真模拟验证了所得结果的正确性, 并讨论了与普通时频分析工具的区别。

关键词: 线性正则变换(LCT), 模糊函数(AF), Radon 变换(RT)

简介

非平稳信号处理和分析是信号处理界最热门的研究课题之一。人们提出了一系列信号处理理论来分析非平稳信号, 比如短时傅里叶变换(STFT) [1], 小波变换(WT) [2]和分数阶傅里叶变换(FRFT) [3], [4]。FRFT 作为经典傅里叶变换(FT)的泛化, 因其固有的特殊性而吸引了越来越多的关注。事实证明, FRFT 可以被看作是一个统一的时频变换[4]。1980 年, Namias 在量子力学中讨论了分数傅里叶算子的想法[5], 并于 1987 年在数学界重新发现了它。Almeida[7]、Santhanam 和 McClellan[8]将它引入了信号处理界。在[9], [10]中提出的 FRFT 的离散和数字计算方法为其在实际情况下的应用打开了大门。随着 FRFT 的进一步衍生, 线性正则变换(LCT)被证明在光学和信号处理中发挥着重要作用, 许多与 FT 相关的概念已经被推广到 LCT 领域。例如, 采样理论[11], [12]、特征函数[13]、卷积定理[14, 15]、以及光谱分析的均匀与非均匀样本, 在 LCT 领域被很好地研究。LCT 的有效离散和数字计算算法在[17], [18]中介绍。更多与 LCT 相关的结果可以参考[3], [4]。

同时, 线性调频(LFM)信号是一种典型的非平稳信号, 被广泛用于通信、雷达和声纳系统中。LFM 信号的处理非常重要, 因此已经提出了许多算法和方法。与 FT 相关的模糊函数(AF)是 LFM 信号处理中最重要的时频工具之一[19], [20]。此外, 还提出了许多与 LFM 信号参数估计和频谱分析有关的其他重要和有用的方法, 如最小均方误差(MMSE)估计[21], 迭代算法[22]。与 de Branges 理论相关

的广义 FT[23], 与 FRFT 相关的 AF[24], Wigner-Hough 变换(WHT)[25], Chirp FT[26], Wigner-Ville 分布(WVD)[27]和 Raton-ambiguity 变换(RAT)[28]。

遵循 AF 的经典定义, Pei 和 Ding[29]首先研究了与 LCT 相关的 AF, 并取得了一些重要的特性。最近 Zhao 等人[30]在光信号处理方向上研究了与 LCT 相关 AF 的特性和物理意义。本文提出了一种不同于[29], [30]的新型与 (LCT) 相关 AF。我们还讨论了它在 LFM 信号处理的主要特性和应用。

本文组织结构如下: 在“前言”部分, 我们首先回顾了 LCT 的相关理论、经典 AF 以及之前的研究结果。在“与 LCT 相关的模糊函数”部分, 我们提出了与 LCT 相关的新型 AF, 并介绍了其主要特性和物理意义。在“AFL 的应用”部分, 新型 AF 在 LFM 信号处理进行了详细研究。在“讨论”部分, 讨论了新型 AF 与其他常见时频工具的区别, 如 RWT、RAT 等。在“模拟”部分, 给出了模拟结果, 以显示所提出技术的合理性和有效性。“总结”部分是结论。

前言

LCT

一个信号 $f(t)$ 的 LCT 可以被定义[3], [4]为:

$$F_{(a,b,c,d)}(u) = L^{(a,b,c,d)}[f(t)](u) = \begin{cases} \sqrt{\frac{1}{j2\pi b}} e^{j\frac{d}{2b}u^2} \int_{-\infty}^{\infty} e^{j\frac{a}{2b}t^2 - j\frac{ut}{b}} f(t) dt & (b \neq 0) \\ \sqrt{d} e^{j\frac{cd}{2}u^2} f(du) & (b = 0) \end{cases} \quad (1)$$

其中 a, b, c, d 为实数, 并满足 $ad - bc = 1$ 。

很容易验证, 经典的 FT、FRFT、啁啾操作和缩放操作都是如以下所示的特殊 LCT 案例。当 $(a, b, c, d) = (0, 1, -1, 0)$ 时, LCT 变成了 FT:

$$L^{(0,1,-1,0)}[f(t)](u) = \sqrt{-j} \text{FT}[f(t)](u) \quad (2)$$

当 $(a, b, c, d) = (\cos \theta, \sin \theta, -\sin \theta, \cos \theta)$ 时, LCT 变成了 FRFT:

$$L^{(\cos \theta, \sin \theta, -\sin \theta, \cos \theta)}[f(t)](u) = \sqrt{e^{-j\alpha}} F^\alpha[f(t)](u) \quad (3)$$

当 $(a, b, c, d) = (1, 0, \tau, 1)$ 时, LCT 变成了啁啾操作:

$$L^{(1,0,\tau,1)}[f(t)](u) = e^{\frac{j}{2}\tau u^2} f(u) \quad (4)$$

当 $(a,b,c,d)=(\sigma,0,0,\sigma^{-1})$ 时, LCT 变成了缩放操作:

$$L^{(\sigma,0,0,\sigma^{-1})}[f(t)](u) = \sqrt{\sigma^{-1}} f(\sigma^{-1}u) \quad (5)$$

许多关于 LCT 的有用特性[3], [4]表明 LCT 是最重要的非平稳信号处理工具之一, 以下与 LCT 相关的加法特性和可逆特性将会被用在本文。

(1) 加法特性

$$L^{(a_2,b_2,c_2,d_2)} \left[L^{(a_1,b_1,c_1,d_1)}(f(t)) \right](u) = L^{(a_3,b_3,c_3,d_3)}[f(t)](u) \quad (6)$$

$$\text{其中} \begin{pmatrix} a_3 & b_3 \\ c_3 & d_3 \end{pmatrix} = \begin{pmatrix} a_2 & b_2 \\ c_2 & d_2 \end{pmatrix} \begin{pmatrix} a_1 & b_1 \\ c_1 & d_1 \end{pmatrix}.$$

(2) 可逆特性

$$L^{(d,-b,-c,a)} \left[L^{(a,b,c,d)}[f(t)](u) \right](t) = f(t) \quad (7)$$

因为 LCT 可以被看作是经典傅里叶和分数 FT 的泛化, 所以它可以扩展它们的功能和应用, 并解决一些超出这些操作的问题[31]。在不影响通用性的前提下, 我们在本文中只考虑 $b \neq 0$ 的情况, 因为当 $b = 0$ 时, LCT 只是一个缩放变换操作。关于 LCT 的更多属性和与其他变换的关系, 可以参考[3], [4]。

随着现代信号处理技术的快速发展, 经典的概念和理论也在不断变化。在 FT 领域中, 已经广泛地研究了 LCT 领域, 例如, 均匀和非均匀的采样理论[32]-[34], 卷积和乘积定理[14], [15], 不确定性原理[35]-[37]在 LCT 领域得到了充分的研究和调查。

模糊函数 (AF)

瞬时自相关信号函数 $f(t)$ 被定义为:

$$R_f(t, \tau) = f\left(t + \frac{\tau}{2}\right) f^*\left(t - \frac{\tau}{2}\right) \quad (8)$$

并且与 FT 相关经典 AF 的 $f(t)$ 被定义为对 t 的 $R_f(t, \tau)$ FT:

$$AF_f(\tau, u) = \int_{-\infty}^{\infty} R_f(t, \tau) e^{-ju t} dt \quad (9)$$

或者在 FT 定义域内可以等价地定义为:

$$AF_f(\tau, u) = \int_{-\infty}^{\infty} F\left(p + \frac{u}{2}\right) F^*\left(p - \frac{u}{2}\right) e^{ip\tau} dp \quad (10)$$

其中 $F(p)$ 是信号 $f(t)$ 的 FT。

经典 AF 特性可以列举如下：

$$AF(\tau, u) = AF^*(-\tau, -u) \quad (11)$$

$$AF(0, 0) = \int_{-\infty}^{\infty} |f(t)|^2 dt \quad (12)$$

$$\frac{1}{2\pi} \int_{-\infty}^{\infty} \int_{-\infty}^{\infty} AF_x(\tau, u) AF_z^*(\tau, u) d\tau du = |< x, z >|^2 \quad (13)$$

AF 是经典的、重要的时频信号处理工具之一。在[28]中显示，LFM 信号的 AF 通过环境平面 (τ, u) 的原点，而投影线的斜率是信号的频率率。所有这些 AF 的特性可以帮助我们在 LFM 信号必理和参数估计中获得良好的结果。

先前的研究成果

基于 LCT 的特性和与 FT 相关的 AF 的定义，Pei 和 Ding[29]以及 Zhao 等人[30]提出了与 LCT 相关的 AF 的两个不同的定义，具体如下。

定义 1: 假设参数为 (a, b, c, d) 的信号 $f(t)$ 的 LCT 是 $F_{(a,b,c,d)}(u)$ ，那么与 LCT 相关的 AF 被定义为[29]：

$$AF_{F_{(a,b,c,d)}}(\tau, u) = \int_{-\infty}^{\infty} F_{(a,b,c,d)}\left(v + \frac{\tau}{2}\right) F_{(a,b,c,d)}^*\left(v - \frac{\tau}{2}\right) e^{-juv} dv \quad (14)$$

在[29]中表明，这种 AF 具有以下特性：

$$AF_{F_{(a,b,c,d)}}(\tau, u) = AF(d\tau - bu, -c\tau + au) \quad (15)$$

$$AF_{F_{(a,b,c,d)}}(a\tau + bu, c\tau + du) = AF(\tau, u) \quad (16)$$

其中 $AF_{(\tau, u)}$ 和 $AF_{F_{(\tau, u)}}$ 分别代表着 $f(t)$ 的 AF 和 $F_{(a,b,c,d)}(v)$ 。

定义 2: 假设参数为 (a, b, c, d) 的信号 $f(t)$ 的 LCT 是 $F_{(a,b,c,d)}(v)$ ，那么线性正则 AF (LCAF) 被定义为[30]：

$$AF_M(\tau, u) = \int_{-\infty}^{\infty} F_{(a,b,c,d)}\left(v + \frac{\tau}{2}\right) F_{(a,b,c,d)}^*\left(v - \frac{\tau}{2}\right) e^{juv} dv \quad (17)$$

在[30][29]中表明，这种 AF 具有以下特性：

$$AF_M(\tau, u) = AF(b\tau + du, -a\tau - cu) \quad (18)$$

$$AF_M(-u, \tau) = AF(d\tau - bu, -c\tau + au) \quad (19)$$

与 LCT 相关的那些种类的 AF 的其他特性和物理意义,也在[29],[30]中进行了详细研究。

很容易看出,这些被公式(14)和公式(17)定义的广义的 AF 是瞬时 FT 的 LCT 信号自相关函数。它们实际上是传统 AF 将线性坐标转换在 FT 坐标。与[29],[30]中的定义不同,我们在本文中定义了一种与 LCT 相关的新型 AF,并且后文也将研究新型 AF 在 LFM 信号中的信号处理应用。

与 LCT 相关的 AF

与 LCT 相关的新型 AF 定义

从数学的角度来看,信号处理界的许多变换可以被看作是信号与核函数的乘积。它们也可以分为两种定义:(1)信号局部形式与核函数的乘积,如 STFT、WVD 等;(2)信号与局部核函数的乘积,如 WT、Gabor 变换等。

不难看出,[29],[30]中的广义 AF 是基于原始信号的局部变换。首先获得原始信号的 LCT,然后应用传统的 AF 定义,这可以被认为是一类定义。与他们的定义不同,我们提出了一个与 LCT 相关的 AF 的新定义,它遵循另一类定义。

定义 3: 与 LCT 相关的信号 $f(t)$ 的 AF,其参数 $A=(a,b,c,d)$ 被定义为

$$\begin{aligned} AFL[f(t)](\tau,u) &= AF_{(a,b,c,d)}(\tau,u) \\ &= \int_{-\infty}^{\infty} R_f(t,\tau) K_A(t,u) dt \end{aligned} \quad (20)$$

$$\text{其中 } K_A(t,u) = \sqrt{\frac{1}{j2\pi b}} e^{\frac{d}{2b}u^2} e^{j\frac{\pi}{2b}t^2 - j\frac{ut}{b}}, \text{ 并且 } R_f(t,\tau) = f\left(t + \frac{\tau}{2}\right) f^*\left(t - \frac{\tau}{2}\right).$$

从 LCT[3],[4]定义和物理意义上来说,这种 AF 可以被解释为瞬时自相关函数 $R_f(t,\tau)$ 在 (τ,u) 平面内的仿射变换。为了使其不同与 LCT 相关的定义,我们将这种信号 $f(t)$ 的由公式(20)定义 AF,即 $AF_{(a,b,c,d)}(\tau,u)$,在后文中简称为 AFL。

新型 AF 的特性

如果一个信号 $f(t)$ 的 AFL 表示为 $AF_{(a,b,c,d)}(\tau,u)$,那么不难看出,AFL 具有以下特性:

共轭特性

$f^*(t)$ 的 AFL 是 $[AF_{(a,-b,-c,d)}(\tau,u)]^*$, $f(-t)$ 的 AFL 是 $[AF_{(a,-b,-c,d)}(\tau,-u)]^*$,
并且 $f^*(-t)$ 的 AFL 是 $AF_{(a,b,c,d)}(\tau,-u)$ 。

转移特性

$f(t-p)$ 的 AFL 是 $e^{-j\frac{ac}{2}p^2+jcpu}AF_{(a,b,c,d)}(\tau,u-pa)$, $f(t)e^{jw\tau}$ 的 AFL 是
 $e^{jw\tau}AF_{(a,b,c,d)}(\tau,u)$, 并且 $f(t)e^{jw\tau^2}$ 的 AFL 是 $e^{-j2dw^2\tau^2b+j2duw\tau}AF_{(a,b,c,d)}(\tau,u-2w\tau b)$ 。

受限性

如果 $f(t)=0, t \notin [t_1, t_2]$, 那么 $AF_{(a,b,c,d)}(\tau,u)=0, \tau > t_2 - t_1$ 。

不定积分特性

信号 $f(t)$ 可以通过以下公式被表示成 $f(t)$ 的 AFL:

$$f(t) = \frac{1}{f^*(0)} \int_{-\infty}^{\infty} AF_{(a,b,c,d)}(t,u) K_{A^{-1}}\left(\frac{t}{2}, u\right) du$$

特例

当 $(a,b,c,d)=(0,1,-1,0)$ 时, AFL 变成了传统 AF[19]

$$AF_{(0,1,-1,0)}(\tau,u) = \sqrt{-j} AF(\tau,u)$$

并且 $(a,b,c,d)=(\cos\theta, \sin\theta, -\sin\theta, \cos\theta)$, AFL 变成了与 FRFT($AF^\alpha(\tau,u)$)

相关的 AF

$$AF_{(\cos\theta, \sin\theta, -\sin\theta, \cos\theta)}(\tau,u) = \sqrt{e^{-j\alpha}} AF^\alpha(\tau,u)$$

时域能量

$$\int_{-\infty}^{\infty} |f(t)|^2 dt = \sqrt{j2\pi} AF_{(0,1,-1,0)}(0,0)$$

对称性

$$|AF_{(a,b,c,d)}(-\tau, -u)| = |AF_{(-a,b,c,-d)}(\tau, u)|$$

对于 LFM 信号的敏感度

一个 LFM 信号 $f(t) = e^{j(w_0 t + m_0 t^2)}$ 的 AFL 是

$$AF_{(a,b,c,d)}(\tau, u) = \begin{cases} e^{j\left(\frac{d}{2b}u^2 + w_0\tau\right)} \sqrt{\frac{2\pi|b|}{j}} \delta(u - m_0\tau b) \left(\frac{a}{2b} = 0\right) \\ e^{j\left(\frac{d}{2b}u^2 + w_0\tau - \frac{(m_0\tau - u/b)^2}{2a/b}\right)} \sqrt{\frac{1}{a}} \left(\frac{a}{2b} \neq 0\right) \end{cases} \quad (21)$$

其中 w_0, m_0 分别代表 $f(t)$ 的初始频率和频率率。

证明：从 AFL 的定义，我们观察到

$$\begin{aligned} AF_{(a,b,c,d)}(\tau, u) &= \sqrt{\frac{1}{j2\pi b}} e^{j\frac{d}{2b}u^2} \int_{-\infty}^{\infty} e^{j\frac{a}{2b}t^2 - j\frac{ut}{b}} R_f(t, \tau) dt \\ &= \sqrt{\frac{1}{j2\pi b}} e^{j\frac{d}{2b}u^2} \int_{-\infty}^{\infty} e^{j\frac{a}{2b}t^2 - j\frac{ut}{b}} e^{j(a_1\tau + 2a_2\tau t)} dt \\ &= \sqrt{\frac{1}{j2\pi b}} e^{j\left(\frac{d}{2b}u^2 + a_1\tau\right)} \int_{-\infty}^{\infty} e^{j\frac{a}{2b}t^2} e^{j\left(2a_2\tau - \frac{u}{b}\right)t} dt \\ \frac{a}{2b} = 0, &= \sqrt{\frac{1}{j2\pi b}} e^{j\left(\frac{d}{2b}u^2 + a_1\tau\right)} \int_{-\infty}^{\infty} e^{j\left(2a_2\tau - \frac{u}{b}\right)t} dt \\ &= \sqrt{\frac{2\pi b}{j}} e^{j\left(\frac{d}{2b}u^2 + a_1\tau\right)} \delta(u - 2a_2\tau) \end{aligned}$$

$$\begin{aligned}
 \frac{a}{2b} \neq 0, &= \sqrt{\frac{1}{j2\pi b}} e^{j\left(\frac{d}{2b}u^2 + a_1\tau\right)} \int_{-\infty}^{\infty} e^{j\frac{a}{2b}t^2} e^{j\left(2a_2\tau - \frac{u}{b}\right)t} dt \\
 &= \sqrt{\frac{1}{j2\pi b}} e^{j\left(\frac{d}{2b}u^2 + a_1\tau\right)} \int_{-\infty}^{\infty} e^{j\frac{a}{2b}\left(t^2 + \frac{2a_2\tau - u/b}{a/2b}\right)} dt \\
 &= \sqrt{\frac{1}{j2\pi b}} e^{j\left(\frac{d}{2b}u^2 + w_0\tau\right)} e^{-j\frac{a}{2b}\frac{(m_0\tau - u/b)^2}{a^2/b^2}} \times \int_{-\infty}^{\infty} e^{j\frac{a}{2b}\left(t + \frac{m_0\tau - u/b}{a/b}\right)^2} dt \\
 &= \sqrt{\frac{1}{a}} e^{j\left(\frac{d}{2b}u^2 + a_1\tau\right)} e^{-j\frac{a}{2b}\frac{(2a_2\tau - u/b)^2}{a^2/b^2}}
 \end{aligned}$$

从公式(21)中我们可以看出,当参数满足特殊条件时, $f(t)$ 的 AFL 将在 (τ, u) 平面上产生一个脉冲。当信号是有限的,由于能量的积累,也会有一个波峰。LFM 信号的 AFL 将通过模糊平面 (τ, u) 的原点,而投影线的斜率为频率的 b 倍。

AFL 与 STFT 的关系

假设信号的 $f(t)$ 的 STFT 被定义为:

$$STFT^w(t, u) = \int_{-\infty}^{\infty} f(p)w^*(p-t)e^{-jup}dp$$

那么接下来的**定理 1** 反应了信号 $f(t)$ 的 AFL 和 STFT 关系。

定理 1: 参数为 (a, b, c, d) 信号 $f(t)$ 的 AFL 可以看作是信号 $f(t)$ 的 STFT, 其中

$$w(t) = f(t)e^{j\frac{a}{2b}t^2}。$$

$$AF_{(a,b,c,d)}(\tau, u) = \sqrt{\frac{1}{j2\pi b}} e^{j\left[\frac{d}{2b}u^2 - \frac{a}{2b}\frac{3\tau^2}{4} + \frac{u\tau}{2b}\right]} STFT^w \times \left(\tau, \frac{2u - a\tau}{2b}\right) \quad (22)$$

证明:

$$\begin{aligned}
 AF_{(a,b,c,d)}(\tau, u) &= \sqrt{\frac{1}{j2\pi b}} e^{j\frac{d}{2b}u^2} \int_{-\infty}^{\infty} f\left(t + \frac{\tau}{2}\right) f^* \times \left(t - \frac{\tau}{2}\right) e^{j\frac{a}{2b}t^2 - j\frac{ut}{b}} dt \\
 &= \sqrt{\frac{1}{j2\pi b}} e^{j\frac{d}{2b}u^2} \int_{-\infty}^{\infty} f(p) f^* \times (p - \tau) e^{j\frac{a}{2b}(p - \tau + \tau/2)^2 - j\frac{u(p - \tau/2)}{b}} dp \\
 &= \sqrt{\frac{1}{j2\pi b}} e^{j\frac{d}{2b}u^2 - \frac{a}{2b}\frac{3\tau^2}{4} + \frac{u\tau}{2b}} \int_{-\infty}^{\infty} f(p) f^* \times (p - \tau) e^{j\frac{a}{2b}(p - \tau)^2} e^{j\left(\frac{a}{2b}p\tau - \frac{up}{b}\right)} dp
 \end{aligned}$$

$$\begin{aligned}
 &= \sqrt{\frac{1}{j2\pi b}} e^{j\left[\frac{d}{2b}u^2 - \frac{a}{2b}\frac{3\tau^2}{4} + \frac{u\tau}{2b}\right]} \int_{-\infty}^{\infty} f(p) f^* \times (p - \tau) e^{j\frac{a}{2b}(p - \tau)^2} e^{-j\left(\frac{u}{b} - \frac{a\tau}{2b}\right)p} dp \\
 &= \sqrt{\frac{1}{j2\pi b}} e^{j\left[\frac{d}{2b}u^2 - \frac{a}{2b}\frac{3\tau^2}{4} + \frac{u\tau}{2b}\right]} STFT^w \times \left(\tau, \frac{2u - a\tau}{2b}\right)
 \end{aligned}$$

AFL 的应用

为了显示新定义的 AFL 在以下方面的有效性,在本节中,我们将把 AFL 应用于 LFM 信号的分析 and 参数检测。遵循经典的 LFM 信号检测方法[26]-[28], 本文提出的检测器是通过结合新型 AFL 和 Radon 变换(RT) 获得的, 为了使这种方法与传统方法不同, 它被称为"AFL 与 RT 相结合", 并被简称为 RAFL。

探测器

RT 通常被用于计算机断层扫描中的图像重建, 其定义为:

$$R_{s,\varphi}(f(x, y)) = \int_{-\infty}^{\infty} \int_{-\infty}^{\infty} f(x, y) \delta(x \sin \varphi + y \cos \varphi - s) dx dy$$

对于 $-\infty < s < \infty, -\pi/2 < \varphi < \pi/2$, 其中 δ 函数指定了积分方向, s 是 x - y 平面上原点到一条直线的距离, φ 是这条直线与 x 轴的夹角角度。

从一个 LFM 信号的 AFL 分析中, 我们知道, 如果我们把 $s = 0$ 的 RT 参数设置为公式(20)的无相位 AFL, 那么信号的检测就能从二维搜索问题简化为一维搜索问题。由公式(21)可知, AFL 的斜率是 LFM 信号啁啾率的 b 倍, 因此, 它的关键在于在模糊平面内, 为实现能量的累积, 首先要计算沿直线的线段积分, 其方向由三角函数 $\delta(u - bm\tau)$ 决定。

在[27]中, 作者使用 AF 的平方模作为适用于 RT 的函数作为检测器。沿着这个思路, 我们使用 AFL 的平方模作为函数。在我们的文章中, 将 RT 作为检测器应用于其中。根据上面的讨论, 与新型 AFL 相关的检测器被定义为以下形式:

$$\begin{aligned}
 \eta(m) &= \int_{-\infty}^{\infty} \int_{-\infty}^{\infty} |AF_{(a,b,c,d)}(\tau, u)|^2 \delta(u - bm\tau) d\tau du \\
 &= \int_{-\infty}^{\infty} |AF_{(a,b,c,d)}(\tau, bm\tau)|^2 d\tau
 \end{aligned} \tag{23}$$

$\eta(m)$ 可以被用于实现公式(21)中的能量积累。

$$\begin{aligned} \frac{a}{2b} = 0, \eta(m) &= \int_{-\infty}^{\infty} \int_{-\infty}^{\infty} \left| \sqrt{\frac{2\pi b}{j}} e^{j\left(\frac{d}{2b}u^2 + w_0\tau\right)} \delta(u - m_0\tau) \right|^2 \delta \times (u - bm\tau) d\tau du \\ &= |2\pi b| \int_{-\infty}^{\infty} \left| e^{j\left(\frac{bd}{2}m^2\tau^2 + w_0\tau\right)} \delta(bm\tau - bm_0\tau) \right|^2 d\tau \end{aligned} \quad (24)$$

$$\begin{aligned} \frac{a}{2b} \neq 0, \eta(m) &= \int_{-\infty}^{\infty} \int_{-\infty}^{\infty} \left| \sqrt{\frac{1}{a}} e^{j\left(\frac{d}{2b}u^2 + w_0\tau\right)} e^{-j\frac{a}{2b} \frac{(m_0\tau - u/b)^2}{a^2/b^2}} \right|^2 \delta \times (u - bm\tau) d\tau du \\ &= \left| \frac{1}{a} \right| \int_{-\infty}^{\infty} \left| e^{j\left(\frac{bcm + m_0}{2a}bm\right)} e^{j\frac{b}{2a}(m - m_0)m_0 + w_0\tau} \right|^2 d\tau \end{aligned} \quad (25)$$

从公式(24)和(25), 我们可以看出当 $m \rightarrow m_0$ 时, $\eta(m) \rightarrow \infty$ 。因此, 可以通过计算 $\eta(m)$ 并与阈值相比较来检测该信号。

检测 LFM 信号

单分量 LFM

假设信号 $f(t)$ 的模型如下, 并具有伴随时间长度 T 的单位能量:

$$f(t) = \frac{1}{\sqrt{T}} e^{j\left(w_0 t + \frac{m_0}{2} t^2\right)} \quad \left(|t| < \frac{T}{2}\right)$$

我们通过 AFL 的定义观察到 $f(t)$ 的 AFL 的模:

$$|AF_{(a,b,c,d)}(\tau, u)| = \begin{cases} \frac{\sin[(u/b - m_0\tau)T/2]}{(u/b - m_0\tau)T/2} \sqrt{\frac{1}{2\pi b}} & (a = 0) \\ \left| \sqrt{\frac{1}{2\pi b}} \int_{-T/2}^{T/2} e^{j\frac{a}{2b}t^2 + j(m_0\tau - u/b)t} dt \right| & (a \neq 0) \end{cases} \quad (26)$$

当 $a = 0$ 时, 我们可以得到检测器 $\eta(m)$ 的解析解:

$$\begin{aligned} \eta(m) &= \frac{1}{T} \int_{-\infty}^{\infty} \int_{-\infty}^{\infty} |AF_{(a,b,c,d)}(\tau, u)|^2 \delta(u - bm\tau) d\tau du \\ &= \frac{2}{T^3} \int \left| \frac{\sin[(m - m_0)\tau T/2]}{(m - m_0)\tau/2} \sqrt{\frac{j}{2\pi b}} \right|^2 d\tau \end{aligned} \quad (27)$$

在公式(27)中的积分前系数是为归一化目的而添加的。当 $m = m_0$ 时, 公式(27)得出:

$$\eta(m_0) = \frac{2}{T} \int_0^T \frac{1}{2\pi b} d\tau = \frac{1}{\pi b} \quad (28)$$

对于 $m > m_0$, 让 $(m - m_0)/2 = p$, 因此公式(27)表示为:

$$\begin{aligned} \eta(2p + m_0) &= \frac{1}{2\pi b} \frac{2}{T^3} \int_0^T \frac{\sin^2[p\tau T]}{(p\tau)^2} d\tau \\ &= \frac{1}{2\pi b} \left\{ \frac{2}{pT^2} \int_0^{\frac{pT^2}{2}} \frac{\sin^2(x)}{x^2} dx + \frac{2}{T^3} \int_{T/2}^T \frac{\sin^2(p\tau T)}{(p\tau)^2} d\tau \right\} \end{aligned} \quad (29)$$

它在[38]中表明有以下特性成立:

$$\int \frac{\sin^2(x)}{x^2} dx = \text{si}(2x) - \frac{\sin^2(x)}{x} \quad (30)$$

其中 $\text{si}(x) = \int_0^x \frac{\sin(t)}{t} dt$ 。将公式(30)代入公式(29), 并使用以下不等式

$$\int_{T/2}^T \frac{\sin^2(p\tau T)}{(p\tau)^2} d\tau < \frac{1}{p^2} \int_{T/2}^T \frac{1}{\tau^2} d\tau = \frac{1}{p^2 T}$$

公式(29)可被改写为:

$$\eta(2p + m_0) < \frac{1}{2\pi b} \left\{ \frac{2}{pT^2} \left[\text{si}\left(\frac{pT^2}{2}\right) - \frac{2}{pT^2} \sin^2\left(\frac{pT^2}{2}\right) + \frac{1}{pT^2} \right] \right\}$$

通过让 $2p + m_0 = m$, 我们得到

$$\eta(m) < \frac{2}{\pi b(m - m_0)T^2} \left[\text{si}\left(\frac{(m - m_0)T^2}{2}\right) + \frac{2}{(m - m_0)T^2} \cos\left(\frac{(m - m_0)T^2}{2}\right) \right] \quad (31)$$

因此, 得出了单分量信号的检测器 $\eta(m)$; 并且公式(31)给出了, 对于 $m \geq m_0$ 检测结果的上界; 对于 $m < m_0$, $\eta(m + m_0)$ 可以用 $\eta(m) = \eta(2m_0 - m)$ 来估计。然而, 当 $a \neq 0$ 时, 我们不再期待 $\eta(m)$ 的解析解, 必须使用数值解。

基于这些结果, 我们可以通过计算检测器 $\eta(m)$ 来检测 LFM 信号。拟议的检测器在 LFM 信号的啁啾率上产生最大值。当 T 是有限的, $\eta(m)$ 有一个波峰, 否则 $\eta(m)$ 就会变成此前讨论过的 delta 函数。

多变量 LFM

双分量信号被定义为:

$$f(t) = \begin{cases} \frac{1}{\sqrt{T}} e^{j\left(w_0 t + \frac{m_0}{2} t^2\right)} + \frac{1}{\sqrt{T}} e^{j\left(w_1 t + \frac{m_1}{2} t^2\right)} & \left(|t| < \frac{T}{2}\right) \\ 0 & \left(|t| > \frac{T}{2}\right) \end{cases}$$

简单起见, 假设 $w_0 = w_1, m_0 > m_1$ 。 $f(t)$ 的 AFL 可以被推导为:

$$AF_{(a,b,c,d)}(\tau, u) = \begin{cases} \frac{\sin\left[(m_0\tau - u/b)T/2\right]}{(m_0\tau - u/b)T/2} \sqrt{\frac{j}{2\pi b}} + \frac{\sin\left[(m_1\tau - u/b)T/2\right]}{(m_1\tau - u/b)T/2} \\ \quad \times \sqrt{\frac{j}{2\pi b}} + \frac{2}{T} \sqrt{\frac{j}{2\pi b}} \sqrt{\frac{\pi}{m_0 - m_1}} & (|\tau| \leq T) \\ \left\{ [C(X_0) + C(X_1)] \cos(a_m \tau^2) \right. \\ \quad \left. + [S(X_0) + S(X_1)] \sin(a_m \tau^2) \right\} & (a = 0) \\ 0 & (|\tau| > T) \end{cases} \quad (32)$$

其中 $C(x) = \int_0^x \cos\left(\frac{\pi t^2}{2}\right) dt$, $S(x) = \int_0^x \sin\left(\frac{\pi t^2}{2}\right) dt$ 是 Fresnel 积分, 并且其他参数,

比如 X_0, X_1 与 [28] 中一致。

公式(32)中的前两项代表了信号的自相关项, 然而其余是交叉项。当 $a \neq 0$ 时。我们无法得到 AFL 的解析解。与 [28] 中的情况类似, 我们不能再期待一个解析解的 $\eta(m)$, 因为 AFL 的方程相当复杂, 例如, 包括 $C(X_0), C(X_1), S(X_0), S(X_1)$ 。在模拟仿真部分, 我们将通过数字方法验证检测 LFM 信号给出检测器的性能。

检测二次调频 (QFM) 信号

$$AF_{(a,b,c,d)}(\tau, u) = \begin{cases} \sqrt{\frac{2\pi|b|}{j}} A^2 e^{j\left(\frac{d}{2b}u^2 + a_1\tau + \frac{a_3}{4}\tau^3\right)} \delta(u - 2a_2\tau b) \left(3a_3\tau + \frac{a}{2b} = 0\right) \\ \sqrt{\frac{1}{6a_3b\tau + a}} A^2 e^{j\left(\frac{d}{2b}u^2 + a_1\tau + \frac{a_3}{4}\tau^3\right) - j\frac{(2a_2\tau - u/b)^2}{2(6a_3\tau + a/b)}} \left(3a_3\tau + \frac{a}{2b} \neq 0\right) \end{cases} \quad (33)$$

证明:

$$AF_{(a,b,c,d)}(\tau, u) = \sqrt{\frac{1}{j2\pi b}} A^2 e^{j\frac{d}{2b}u^2} \int_{-\infty}^{\infty} e^{j\left[a_1\tau + \frac{a_3\tau^3}{4} + 2a_2\tau t + 3a_3\tau t^2\right]} \times e^{j\frac{a}{2b}t^2 - j\frac{ut}{b}} dt$$

$$= \sqrt{\frac{1}{j2\pi b}} A^2 e^{j\frac{d}{2b}u^2} \times \int_{-\infty}^{\infty} e^{j\left(3a_3\tau + \frac{a}{2b}\right)t^2 + j\left(2a_2\tau - \frac{u}{b}\right)t + j\left(a_1\tau + a_3\frac{\tau^3}{4}\right)} dt$$

$$3a_3\tau + \frac{a}{2b} = 0, AF_{(a,b,c,d)}(\tau, u) = \sqrt{\frac{1}{j2\pi b}} A^2 e^{j\frac{d}{2b}u^2} \times \int_{-\infty}^{\infty} e^{j\left[\left(2a_2\tau - \frac{u}{b}\right)\tau + \left(a_1\tau + a_3\frac{\tau^3}{4}\right)\right]} dt$$

$$= \sqrt{\frac{1}{j2\pi b}} A^2 e^{j\frac{d}{2b}u^2 + j\left(a_1\tau + a_3\frac{\tau^3}{4}\right)} \int_{-\infty}^{\infty} e^{j\left(2a_2\tau - \frac{u}{b}\right)\tau} dt$$

$$= \sqrt{\frac{2\pi b}{j}} A^2 e^{j\left(\frac{d}{2b}u^2 + a_1\tau + a_3\frac{\tau^3}{4}\right)} \delta(u - 2a_2b\tau)$$

$$3a_3\tau + \frac{a}{2b} \neq 0, AF_{(a,b,c,d)}(\tau, u) = \sqrt{\frac{1}{j2\pi b}} A^2 e^{j\left(\frac{d}{2b}u^2 + a_1\tau + a_3\frac{\tau^3}{4}\right)}$$

$$\times \int_{-\infty}^{\infty} e^{j\left(3a_3\tau + \frac{a}{2b}\right)t^2 + j\left(2a_2\tau - \frac{u}{b}\right)t + j\left(a_1\tau + a_3\frac{\tau^3}{4}\right)} dt$$

$$= \sqrt{\frac{1}{j2\pi b}} A^2 e^{j\left(\frac{d}{2b}u^2 + a_1\tau + a_3\frac{\tau^3}{4}\right) - j\frac{(2a_2\tau - u/b)^2}{2\left(3a_3\tau + \frac{a}{b}\right)}}$$

$$\times \int_{-\infty}^{\infty} e^{j\left(3a_3\tau + \frac{a}{2b}\right)\left(t + \frac{(2a_2\tau - u/b)}{3a_3\tau + \frac{a}{2b}}\right)^2} dt$$

$$= \sqrt{\frac{1}{a + 6a_3\tau b}} A^2 e^{j\left(\frac{d}{2b}u^2 + a_1\tau + a_3\frac{\tau^3}{4}\right) - j\frac{(2a_2\tau - u/b)^2}{2\left(3a_3\tau + \frac{a}{b}\right)}}$$

从公式(33)中, 当我们选择满足 $3a_3\tau + \frac{a}{2b} = 0$ 特殊参数时, QFM 信号的 AFL 可以产生在 (τ, u) 平面的一个脉冲。与对多分量 LFM 信号的 $\eta(m)$ 的讨论类似, 我们无法得到这种情况的解析解。

事实上, 立方相位参数可以被看作是我们想要获得的信息, 而其他相位参数可以被看作是检测信号的噪声。从公式中(33)可以得出结论, AFL 具有时间-频率焦点, 因此, QFM 信号的立方相位信息可以通过这种方式来检测。我们将在模拟部分应用关于这种信号的检测器的数值方法。

讨论

上一节显示, AFL 可用于 LFM 信号的检测, 在前几节中, AFL 结合 RT (RAFL) 被证明对 LFM 信号的检测是有效的。在本节中, 我们将把 RAFL 与其他常见的时频方法进行比较, 包括 RAT、Radon-WVD 变换 (RWT)、WVD-Hough 变换 (WHT)。首先, 我们表明 RAT 和 RWT 可以被看作是等价的, 然后我们在下面的部分将 RAFL 与 -RAT、WHT、FRFT 进行比较。

RAT 和 Radon-WVD 变换 (RWT)

LFM 信号 $f(t) = e^{j(w_0 t + m t^2 / 2)}$ WVD 由一下公式给出:

$$\text{WVD}(t, w) = \delta(w - w_0 - mt) \quad (34)$$

从公式(34)可以看出, 一个分量的 LFM 信号的 WVD 是一个沿直线的脉冲谱线 $w = w_0 - mt$ 。换句话说, WVD 有满足的时间-频率焦点。然而, 多分量 LFM 信号的 WVD 将产生交叉项, 这将模糊时频平面, 特别是在低信噪比环境下。Radon-WVD (RWT) 是对时频平面上所有可能的线路进行 WVD 的积分, 它可以将时频检测问题转化为二维搜索问题。

在经典的 FT 意义上, $f(t)$ 的 AF 由以下公式给出:

$$AF(\tau, u) = e^{jw_0 \tau} \delta(u - m\tau) \quad (35)$$

AF 也通过了模糊平面的原点并满足时频焦点特性。RT 是对所有经过模糊平面的原点的线进行直线积分, 以得到 RAT。RAT 将二维搜索问题减化为一维搜索问题。显然, 一个信号的 AF 和 WVD 是二维 FT 对, AF 可以通过对二维 FT 的应用得到 WVD。

根据上述讨论, RWT 和 RAT 是相等的。在 LFM 信号检测中得出。

RAFL 和 RAT

一个信号 $f(t)$ 的 AF 和 AFL 是:

$$AF(\tau, u) = \int_{-\infty}^{\infty} f\left(t + \frac{\tau}{2}\right) f^*\left(t - \frac{\tau}{2}\right) e^{-jut} dt \quad (36)$$

$$AF_{(a,b,c,d)}(\tau, u) = \int_{-\infty}^{\infty} f\left(t + \frac{\tau}{2}\right) f^*\left(t - \frac{\tau}{2}\right) K_A(t, u) dt \quad (37)$$

从公式(36)和(37)来看, 经典的 AF 可以被认为是 AFL 的特例。AFL 有三个额外的自由参数, 即表征 LCT 的参数, 这使得 AFL 对信号处理更有吸引力。在 AFL 平面上, 我们可以通过调整参数来分离信号项和交叉项, 交叉项的抑制也可以通过 AFL 有效地实现, 这可以从模拟中看出。

在这个意义上, RAFL 可以被看作是 RAT 的一个推广, 在非静止信号检测和参数估计方面, 我们使用 RAFL 比 RAT 有更多的自由参数。

RAFL 和 WVD-Hough 变换 (WHT)

Hough 变换最初是为获取直线而提出的, 但后来被推广到任何图形。尽管 WVD 产生了交叉项, 但 WVD 与 HT 相结合的方法已被应用于啁啾信号的检测和参数估计, 包括多分量信号。WHT 可以解释为[17]中 WVD 的线积分:

$$\begin{aligned} \text{WHT}(f, g) &= \int_{-\infty}^{\infty} \int_{-\infty}^{\infty} \text{WVD}(t, v) \delta(v - f - gt) dt dv \\ &= \int_{-\infty}^{\infty} \text{WVD}(t, f + gt) dt \end{aligned} \quad (38)$$

或者说, 一个信号的 WHT 可以被看做是其 AF 的 FT。

$$\text{WHT}(f, g) = \int_{-\infty}^{\infty} \text{AF}(\tau, g\tau) e^{-j2\pi f\tau} d\tau \quad (39)$$

事实上, 我们很容易发现, WHT 等同于 RWT 和 RAT, 所以 RAFL 可以被看作是 WHT 的一个推广。信号的 WHT 会在终域产生峰值, 其坐标为相位参数 f_0, g_0 。在平面 (f, g) 上, 如果有一个峰值超过阈值, 就决定了啁啾声的存在。

WHT 是一个很好的信号检测工具, 即使在嵌入噪声的环境中。

WVD 与 HT 相结合, 为信号和图像处理提供了一座桥梁。然而, 与 AFL 相比, WHT 需要大量的计算。

FRFT

FRFT 实际上是一种单一的时频变换。随着阶数从 0 增加到 1, FRFT 可以从时间频域揭示出逐渐变化的信号的特征。与通常的二次元时间不同, 它以单一变量揭示了时间-频率特征, 并且不受交叉项的影响。与传统的 FT 相比, FRFT 在非平稳信号的处理中表现得更好, 特别是在类似啁啾的信号处理中。此外, 一个额外的自由度 (阶) 有时可能有助于获得比通常的时频分布或 FT 更好的性能。而其开发的快速算法导致计算负荷小, 性能好。

信号 $f(t)$ 的 FRFT 是:

$$F^\alpha[f(t)] = F_f(\alpha, u) = \int_{-\infty}^{\infty} K_\alpha(t, u) f(t) dt \quad (40)$$

其中

$$K_\alpha(t, u) = \sqrt{\frac{1 - \cot \alpha}{2\pi}} e^{j(u^2/2 \cot \alpha - ut \csc \alpha + t^2/2 \cot \alpha)} \quad (\alpha \neq 0)$$

正如我们所知, 在二维 $F_f(\alpha, u)$ 中会有最大值, 其坐标 (α, u) 对应于初始频率和啁啾率。

$$\begin{cases} m = -\cot \alpha \\ w_0 = u / \sin \alpha \end{cases} \quad (41)$$

RWT 可以通过啁啾来计算:

$$\text{RWT}(u, \alpha) = \left| \frac{1}{|\sin \alpha|} \int_{-\infty}^{\infty} f(t) e^{-j(w_0 t + m t^2/2)} dt \right|_{\substack{m = -\cot \alpha \\ w_0 = u / \sin \alpha}}^2 \quad (42)$$

以及 FRFT 的平方:

$$|F_x(\alpha, u)|^2 = \left| \frac{1}{2\pi \sin \alpha} \int_{-\infty}^{\infty} e^{j(-ut \csc \alpha + t^2/2 \cot \alpha)} dt \right|^2 \quad (43)$$

从公式(42)和(43), 我们得到:

$$\text{RWT}(u, \alpha) = a\pi |F_x(\alpha, u)|^2 \quad (44)$$

这也就是说, FRFT 等同于 RWT。

模拟

为了验证本文的推导结果, 并显示 AFL 在 LFM 信号检测中的优势, 本节中进行了模拟仿真。从这些模拟中不难看出, AFL 在检测 LFM 信号方面比传统的有更好的性能。

LFM 信号的检测

单分量 LFM 信号的检测

单分量 LFM 信号被定义为:

$$f(t) = \frac{1}{\sqrt{T}} e^{j\left(w_0 t + \frac{m_0}{2} t^2\right)} \quad \left(|t| < \frac{T}{2}\right)$$

参数选择为: $T = 40s, w_0 = 0.1rad / s, m_0 = 0.4rad / s^2$ 。 $f(t)$ 的 $|AFL|$ 可以被计算为:

$$|AF_{(a,b,c,d)}(\tau, u)| = \begin{cases} \frac{\sin\left[\left(u/b - m_0\tau\right)T/2\right]}{\left(u/b - m_0\tau\right)T/2} \sqrt{\frac{1}{2\pi b}} & (a = 0) \\ \left| \sqrt{\frac{1}{2\pi b}} \int_{-T/2}^{T/2} e^{j\frac{a}{2t^2}t^2 + j(m_0\tau - u/b)t} dt \right| & (a \neq 0) \end{cases}$$

对 $(a, b, c, d) = (0, 2, -1/2, 1)$ 的单分量 LFM 信号进行检测。 $AF_{(a,b,c,d)}(\tau, u)$ 的轮廓部分和检测器 $\eta(m)$ 分别绘制在图 1a,b 中。

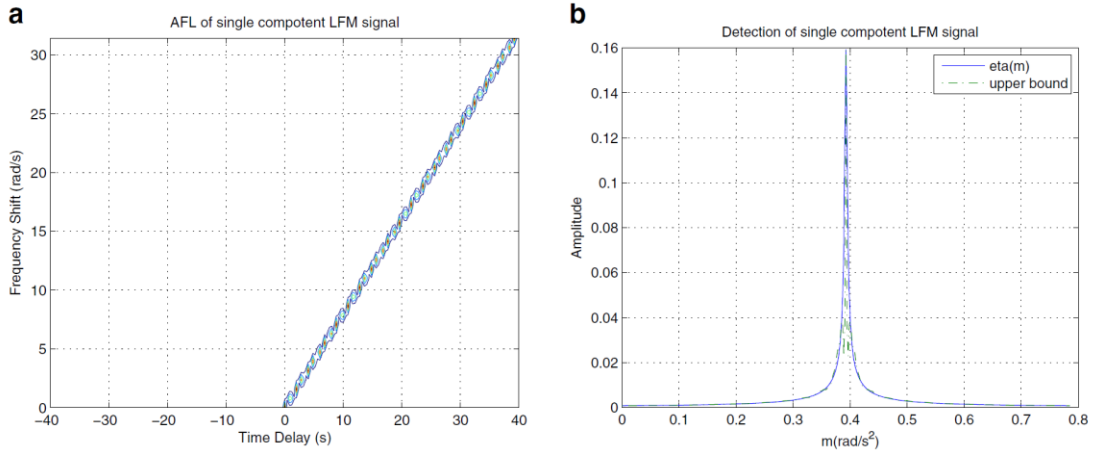


图 1 对参数 $(a, b, c, d) = (0, 2, -1/2, 1)$ 的单分量 LFM 信号检测

从图 1a 可以看出, AFL 通过 AFL 平面的原点, 投影线的斜度为 $b \cdot m_0$, 这与前面讨论相同。图 1b 显示了检测器 $\eta(m)$ 的值和上界。如前文所述在啁啾率 m_0 附近有一个峰值。因此, 我们可以根据 RAFL 来检测 LFM 信号。

多分量 LFM 信号的检测

假设 p 分量的信号定义如下:

$$f(t) = \begin{cases} \sum_{i=0}^p \frac{1}{\sqrt{T}} e^{j\left(w_i t + \frac{m_i}{2} t^2\right)} & \left(|t| < \frac{T}{2}\right) \\ 0 & \left(|t| > \frac{T}{2}\right) \end{cases} \quad (45)$$

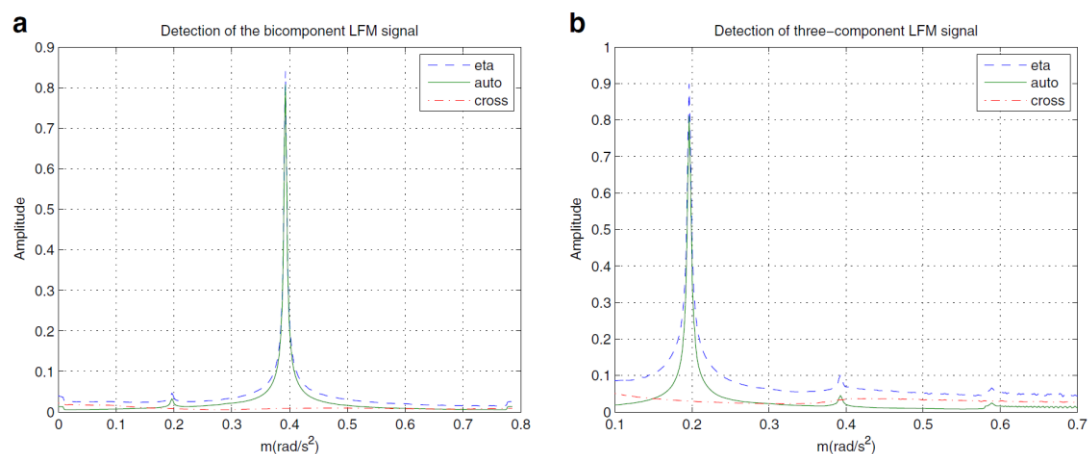


图 2 多分量 LFM 信号的检测器 $\eta(m)$, $T = 40s$, 不同参数。(a) 双分量 LFM 信号的 $\eta(m)$, 一个分量的振幅是另一个的十分之一。 $(a, b, c, d) = (1/32, 16, -1/32, 16)$, $w_0 = w_1 = 0.1\text{rad/s}^2$, $m_0 = 0.4\text{rad/s}^2$, $m_1 = 0.2\text{rad/s}^2$ 。(b) 具有不同振幅的三分量信号的 $\eta(m)$ $(a, b, c, d) = (1/32, 32, -1/64, 16)$, $w_0 = w_1 = w_2 = 0.1\text{rad/s}^2$, $m_0 = 0.2\text{rad/s}^2$, $m_1 = 0.4\text{rad/s}^2$, $m_2 = 0.6\text{rad/s}^2$ 。

图 2 显示了 $T = 40s$ 和不同参数的多分量 LFM 信号的检测器 $\eta(m)$ 。从图 2 中可以看出, 该检测器可用于检测对不等幅的 LFM 信号 LFM 信号。

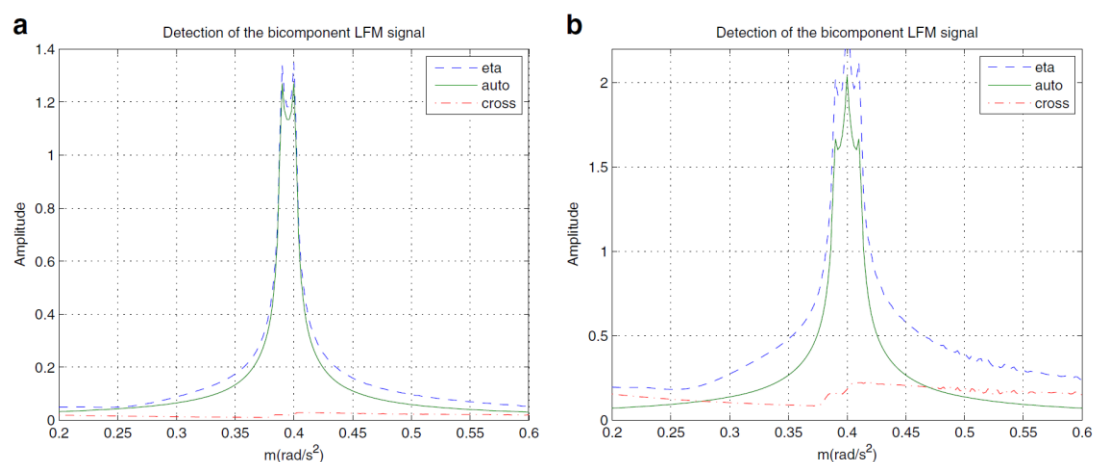


图 3 非常接近啁啾率的 LFM 信号的检测结果。(a) $w_0 = w_1 = 0.1\text{rad/s}$, $m_0 = 0.4\text{rad/s}^2$, $m_1 = 0.39\text{rad/s}^2$ 。(b) $w_0 = w_1 = w_2 = 0.1\text{rad/s}$, $m_0 = 0.41\text{rad/s}^2$, $m_2 = 0.39\text{rad/s}^2$ 。

多分量 LFM 信号的时频分析将产生交叉项。抑制交叉项是一个在信号处理

中重要的问题。人们提出了两种方法来解决这个问题：核函数过滤器和 AF 范围内的过滤器。前者是根据目标得出的一些约束条件设计一个内核函数，后者是利用 AF 的独特属性。本文提出的 AFL 有三个额外的自由参数，即表征 LCT 的参数，这将使 AFL 在分析信号和交叉项抑制方面更具吸引力。

图 3 显示了在 $T = 40s$ 的情况下，非常接近啁啾率的 LFM 信号的检测结果。分辨率是一个测量分离两个啁啾信号能力的参数。在这个模拟中，分辨率被定义为在无噪声环境下解决两个同样强的 LFM 信号的最小啁啾率分离。通过计算机模拟，试验信号的长度 T 范围从 10 到 60s，我们得到的分辨率约为 b/T^2 。

图 3 显示了 $T = 40s$ 的 $\eta(m)$ 的临界分辨率情况。它揭示了分辨率与信号长度 T 的平方成正比。如前所述，RAFL 是 RAT 的一个推广，啁啾率分辨率与[28]中的 RAT 一致，即 $1/T^2$ 水平。信号长度必须大于 $\sqrt{b/\Delta}$ 才能达到啁啾率分辨率 Δ 。

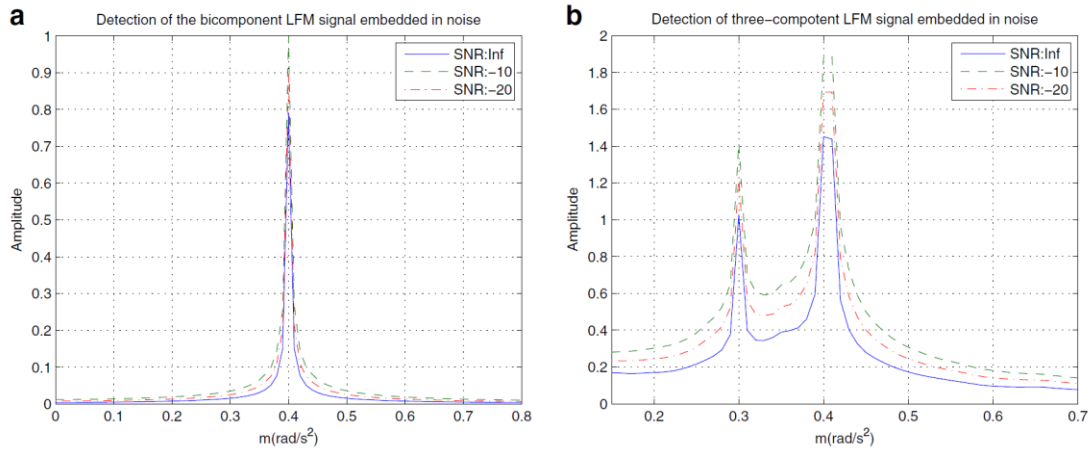


图 4 含高斯噪声的 LFM 信号检测。(a) 单分量 LFM 信号， $w_0 = 0.1rad/s$ ， $m_0 = 0.4rad/s^2$ 。(b) 三分量 LFM 信号， $w_0 = 0.1rad/s$ ， $m_0 = 0.3rad/s^2$ ， $w_2 = 0.3rad/s^2$ ， $m_2 = 0.41rad/s^2$ ， $T = 40s$ 。

检测有噪声的 LFM 信号

带有噪声的单组分 LFM 信号被定义为

$$f(t) = \frac{1}{\sqrt{T}} e^{j\left(w_0 t + \frac{m_0}{2} t^2\right)} + n(t) \quad \left(|t| < \frac{T}{2}\right)$$

其中噪声 $n(t)$ 被假定为零期望，方差为 σ^2 的高斯白噪声。

当然，带有噪声的 p 分量 LFM 信号被定义为：

$$f(t) = \sum_{i=0}^p \frac{1}{\sqrt{T}} e^{j\left(w_i t + \frac{m_i}{2} t^2\right)} + n(t) \quad \left(|t| < \frac{T}{2}\right)$$

检测器的输出如图 4 所示，信噪比分别为 ∞ , -10, -20dB。从图 4 可以看出，在强噪声背景下，检测器显示了三分量 LFM 信号的存在，其中 m_1 和 m_2 非常接近。这些模拟验证了所提出的检测器的有效性。

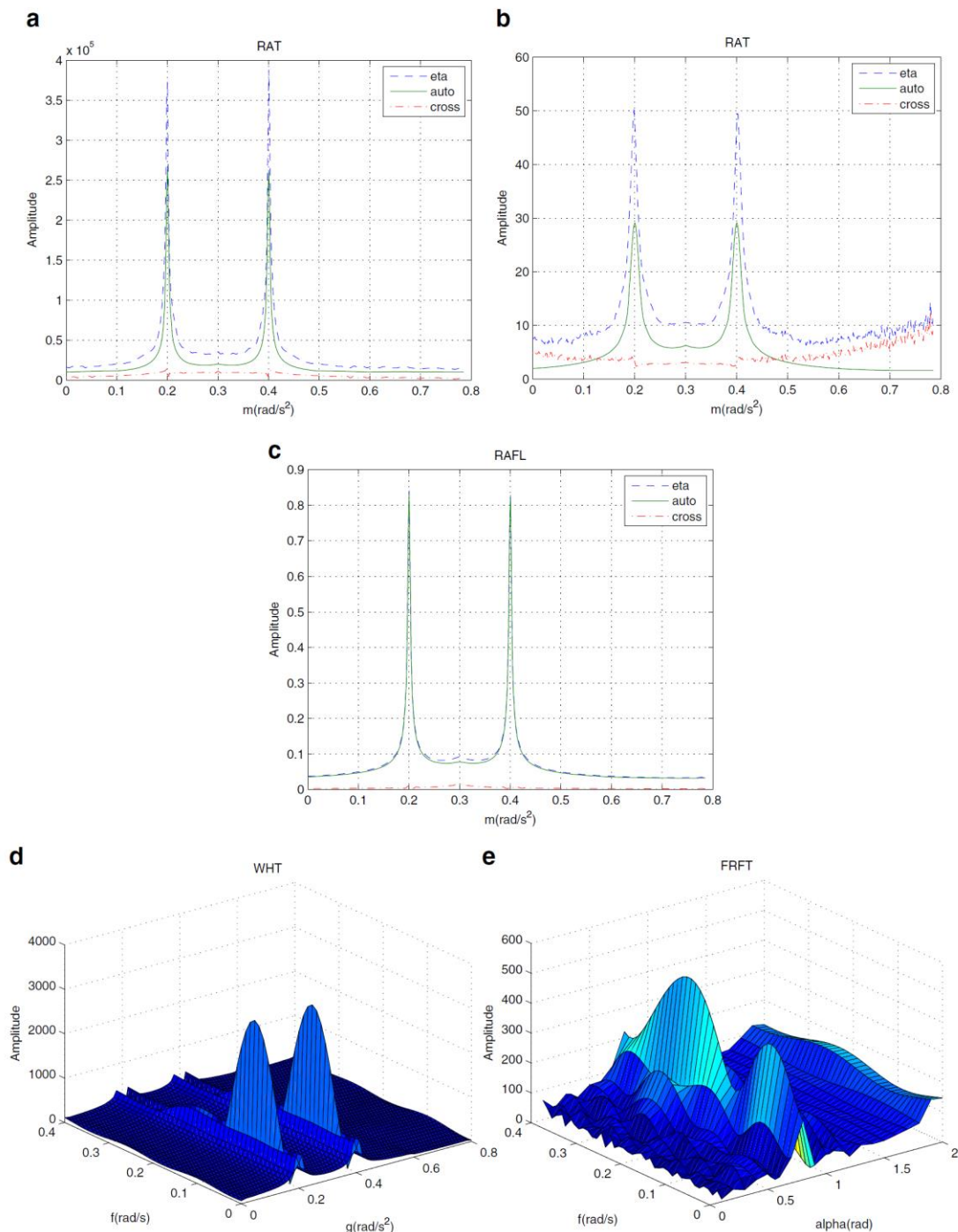


图 5 对比 LFM 信号的普通检测器。(a) RWT。(b) RAT。(c) RAFL。(d) WHT。(e) FRTT。

不同时频工具检测器的比较

在本节中,我们将以给定长度的 LFM 信号为例,对不同时间-频率工具的检测器进行比较。图 5 绘制了比较 LFM 信号在公式(42)中普通探测器中的结果,

$$T = 40s, w_0 = w_1 = 0.1rad / s, m_0 = 0.2rad / s^2, m_1 = 0.4rad / s^2。$$

从图 5a 中可以看出, RWT 可以检测到啁啾率附近的两个峰值的 LFM 信号。RWT 的结果是通过将 RWT 应用于 LFM 信号, 然后计算沿直线的线段积分, 其方向由 delta 函数 $\delta(u - bm\tau - w_0)$ 确定。然而, 当 $w_0 \neq w_1$, 问题将是一个二维搜索问题。

从图 5b 中我们可以看出, RAT 是一个好的时频工具, 但是, 交叉项仍然很严重, 交叉项甚至会干扰自动项。在图 5d 中, LFM 信号的 WHT 可以在平面上形成峰值, 而峰值的坐标对应于参数。但计算量非常大, 而且它不是很明显来发现尖锐的峰值, 这是 WHT 的缺陷。LFM 信号的 FRFT 显示了在特殊阶的时间频率焦点。LFM 信号的探测和参数测定可以通过 FRFT 的二维搜索获得。然而, 有一些问题需要解决, 如计算量等。而从图 5e 中可以看出, 多分量 LFM 信号的 FRFT 在有限的时间内检测出的信号可能并不合人心意。最后, 从图 5c 中不难发现, 手稿中提出的 RAFL 可以检测到多成分的 LFM 信号, 而且性能是一维搜索, 并且效果更好。

上面的比较和描述只是从模拟中看到的。现在, 我们可以确定一个定量指标来研究检测器的有效性。众所周知, 交叉项的抑制是多分量 LFM 信号处理的一个重要问题, 因此我们将定量指标定义为

$$r = \frac{|cro|^2}{|tf|^2} \quad (46)$$

其中 cro 和 tf 分别为交叉项值和时间频率值。它表示交叉项相对于总体值的比率, 可以看作是交叉项抑制的有效性。RWT、RAT 和 RAFL 的指数分别为 3.31、14.28、0.31%。从定量指标来看, 我们可以发现本文提出的 RAFL 可以有效地抑制交叉项。

检测 QFM 信号

QFM 信号被定义为 $f(t) = \frac{1}{\sqrt{T}} A e^{j(a_1 t + a_2 t^2 + a_3 t^3)} \left(|t| < \frac{T}{2} \right)$, 其中

$T = 10, a_1 = 0.1, a_2 = 1, a_3 = 0.01$, $f(t)$ 的 AFL 是:

$$AF_{(a,b,c,d)}(\tau, u) = \begin{cases} \sqrt{\frac{2\pi|b|}{j}} A^2 e^{j\left(\frac{d}{2b}u^2 + a_1\tau + \frac{a_3}{4}\tau^3\right)} \delta(u - 2a_2\tau b) \\ \times \left(3a_3\tau + \frac{a}{2b} = 0\right) \\ \sqrt{\frac{1}{6a_3b\tau + a}} A^2 e^{j\left(\frac{d}{2b}u^2 + a_1\tau + \frac{a_3}{4}\tau^3\right) - j\frac{2a_2\tau - u/b}{2(6a_3\tau + a/b)}} \\ \times \left(3a_3\tau + \frac{a}{2b} \neq 0\right) \end{cases} \quad (47)$$

图 6 描绘了这个二次调频信号的 AF 和 AFL, $T = 10s, a_1 = 0.1, a_2 = 1, a_3 = 0.01$ 。

从图 6a 中我们知道, 经典的 AF 很难检测到立方项。然而, 在图 6b 中, a_3 的表现更为突出。

事实上, QFM 信号的主要信息是由其立方项显示的。也就是说, 立方项位参数可以被看作是我们想要得到的信息。由于第二项的系数大约是立方项的 100 倍, 可以认为 a_3 , 如果第二项被看作是相噪声对于立体的 SNR 是 -40dB。

QFM 信号的 AFL 也通过 AFL 平面的原点。因此我们用同样的方法来检测 QFM 信号。从公式(33)可知, 对于功率信号, 如果我们选择特殊参数, AFL 可以产生一个脉冲, 而对于有一定时间的能量信号, 会有能量积累的波峰。

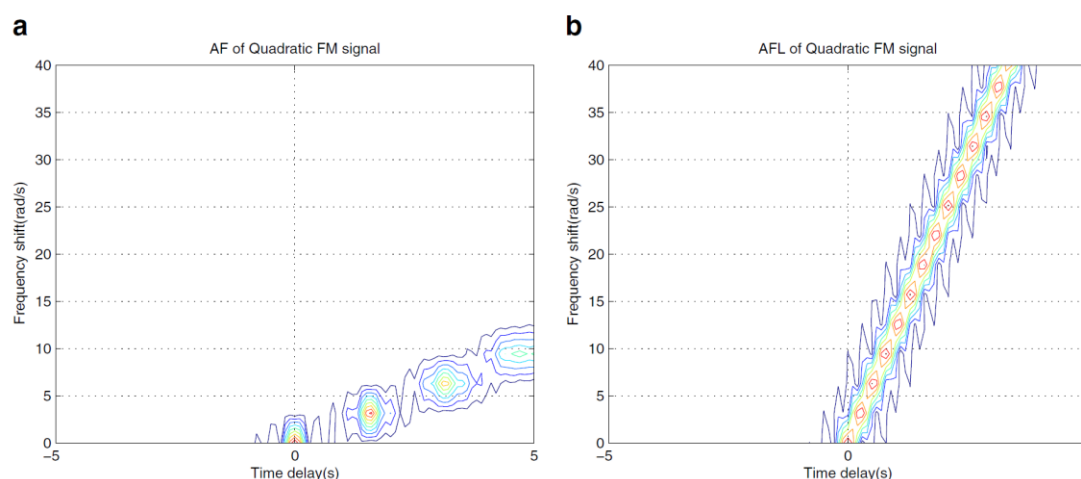


图 6 平方 FM 信号的 AF 和 AFL, $T = 10s$ 。(a)AF。(b)AFL, $(a,b,c,d) = (1,6,1/2,4)$ 。

总结

在经典 AF 和局部变换理论的基础上, 本文提出了一种与 LCT 相关的新型 AF (我们将其命名为 AFL), 它可以被视为经典 AF 的推广之一。我们详细研究了 AFL 的主要属性。AFL 有三个额外的自由参数, 即 LCT 的参数, 这使得 AFL 对 LFM 信号的分析更有吸引力。通过结合 AFL 和 RT 得到的 RAFL 被用于检测 LFM 信号。它可以在 RAFL 平面上产生围绕啁啾率的尖锐峰值, 并且可以有效地抑制交叉项, 这可以从仿真模拟和比较结果中得到验证。沿着这个方向的未来工作是探索 AFL 在非平稳信号处理中的应用, 以及 AFL 与[29], [30]中提出的其他类型的 AF 在 LFM 信号检测和参数估计中的比较。

方法

手稿中使用的所有信号都是由 Matlab 软件产生的, 模拟部分的算法是根据“AFL 的应用”中主要结果提出的。

竞争性利益

作者声明, 他们没有竞争性利益。

鸣谢

作者要感谢处理编辑和匿名审稿人的宝贵意见和建议。这对我们大幅改进稿件有很大的帮助。作者还要感谢北京理工大学的金海博士的多次讨论和对稿件的校对。这项工作得到了国家自然科学基金(编号 60901058 和 61171195)的支持, 也得到了北京市自然科学基金(编号 1102029)的部分支持。

收到: 2011 年 11 月 14 日 接受: 2012 年 5 月 27 日 发表: 2012 年 7 月 11 日

参考文献

- [1]. L Cohen, Time-frequency distribution—a review. *Proc. IEEE.* **77**(7),941–981 (1989)
- [2]. I Daubechies, *Ten Lectures on Wavelets*. (Philadelphia, PA: SIAM, 1992)
- [3]. HM Ozaktas, MA Kutay, Z Zalevsky, *The Fractional Fourier Transform with Applications in Optics and Signal Processing*. (New York: Wiley, 2001)
- [4]. R Tao, B Deng, Y Wang, *Fractional Fourier Transform and its Applications*. (Beijing: Tsinghua Univ. Press, 2009)

- [5]. V Namias, The fractional order Fourier transform and its application to quantum mechanics. *IMA J. Appl. Math.* **25**(3), 241–265 (1980)
- [6]. AC McBride, FH Kerr, On Namias's fractional Fourier transforms. *IMA J. Appl. Math.* **39**(2), 59–175 (1987)
- [7]. LB Almeida, The fractional Fourier transform and time-frequency representation. *IEEE Trans. Signal Process.* **42**, 3084–3091 (1994)
- [8]. B Santhanam, JH McClellan, The discrete rotational Fourier transform. *IEEE Trans. Signal Process.* **44**(4), 994–998 (1996)
- [9]. HM Ozaktas, O Ankan, MA Kutay, G Bozdaki, Digital computation of the fractional Fourier transform. *IEEE Trans. Signal Process.* **44**(9), 2141–2150 (1996)
- [10]. S-C Pei, J-J Ding, Closed-form discrete fractional and affine Fourier transforms. *IEEE Trans. Signal Process.* **48**(5), 1338–1353 (2000)
- [11]. C-P Li, B-Z Li, T-Z Xu, Approximating bandlimited signals associated with the LCT domain from nonuniform samples at unknown locations. *Signal Process.* **92**(7), 1658–1664 (2012)
- [12]. R Tao, B-Z Li, Y Wang, On sampling of bandlimited signals associated with the linear canonical transform. *IEEE Trans. Signal Process.* **56**(11), 5454–5464 (2008)
- [13]. S-C Pei, J-J Ding, Eigenfunctions of linear canonical transform. *IEEE Trans. Signal Process.* **50**(1), 11–26 (2002)
- [14]. D Bing, T Ran, W Yue, Convolution theorems for the linear canonical transform and their applications. *Sci. China-Inf. Sci.* **49**(4), 592–603 (2006)
- [15]. D Wei, Y Li, A convolution product theorem for the linear canonical transform. *IEEE Signal Process. Lett.* **16**(10), 853–856 (2009)
- [16]. B-Z Li, T-Z Xu, Spectral analysis of sampled signals in the linear canonical transform domain. *Math. Probl. Eng.* **2012**, 19 (2012)
- [17]. FS Oktem, HM Ozaktas, Exact relation between continuous and discrete linear canonical transforms. *IEEE Signal Process. Lett.* **16**(8), 727–730 (2009)
- [18]. A Koc, HM Ozaktas, C Candan, MA Kutay, Digital computation of linears canonical transforms. *IEEE Trans. Signal Process.* **56**(6), 2383–2394 (2008)
- [19]. G Kutyniok, Ambiguity functions, Wigner distributions and Cohen's class for LCA groups. *J. Math. Anal. Appl.* **277**(2), 589–608 (2003)
- [20]. RG Shenoy, TW Parks, Wide-band ambiguity functions and affine Wigner distributions. *Signal Process.* **41**(3), 339–363 (1995)
- [21]. HT Li, PM Djuric, MMSE estimation of nonlinear parameters of multiple linear/quadratic chirps. *IEEE Trans. Signal Process.* **46**(3), 796–801 (1998)
- [22]. CD Luigi, E Moreau, An iterative algorithm for estimation of linear frequency modulated

- p>signal parameters.
- IEEE Signal Process. Lett.*
- 9**
- (4), 127–129 (2002)
- [23]. M Mboup, T Adalai, A generalization of the Fourier transform and its application to spectral analysis of chirp-like signals. *Appl. Comput. Harmon. Anal.* **32**(2), 305–312 (2012)
- [24]. C Zhe, W Hongyu, Q Tianshuang, Research of ambiguity function associated with the fractional Fourier transform (in Chinese). *Signal Process.* **19**(6), 499–502 (2003)
- [25]. S Barbarossa, Analysis of multicomponent LFM signals by a combined Wigner-Hough transform. *IEEE Trans. Signal Process.* **43**(6), 1511–1515 (1995)
- [26]. X-G Xia, Discrete chirp-Fourier transform and its application to chirp rate estimation. *IEEE Trans. Signal Process.* **48**(11), 3122–3133 (2006)
- [27]. XM Lv, M Xing, Z Zhang, Z Bao, Keystone transformation of the Wigner–Ville distribution for analysis of multicomponent LFM signals. *Signal Process.* **89**(5), 791–806 (2009)
- [28]. M Wang, AK Chan, CK Chui, Linear frequency-modulated signal detection using Radon-Ambiguity transform. *IEEE Trans. Signal Process.* **46**(3), 571–587 (1998)
- [29]. S-C Pei, J-J Ding, Relations between fractional operations and time-frequency distributions and their applications. *IEEE Trans. Signal Process.* **49**(8), 1638–1655 (2001)
- [30]. H Zhao, Q-W Ran, J MA, L-Y Tan, Linear canonical ambiguity function and linear canonical transform moments. *Optik.* **122**(6), 540–543 (2011)
- [31]. JJ Healy, JT Sheridan, Cases where the linear canonical transform of a signal has compact support or is band-limited. *Opt. Lett.* **33**(3), 228–230 (2008)
- [32]. C Candan, HM Ozaktas, Sampling and series expansion theorems for fractional Fourier and other transforms. *Signal Process.* **83**(11), 2455–2457 (2003)
- [33]. B-Z Li, R Tao, Y Wang, New sampling formulae related to linear canonical transform. *Signal Process.* **87**(5), 983–990 (2007)
- [34]. JJ Healy, JT Sheridan, Sampling and discretization of the linear canonical transform. *Signal Process.* **89**(4), 641–648 (2009)
- [35]. J Zhao, R Tao, Y-L Li, Y Wang, Uncertainty principles for linear canonical transform. *IEEE Trans. Signal Process.* **57**(7), 2856–2858 (2009)
- [36]. KK Sharma, SD Joshi, Uncertainty principles for real signals in linear canonical transform domains. *IEEE Trans. Signal Process.* **56**(7), 2677–2683 (2008)
- [37]. A Stern, Uncertainty principles in linear canonical transform domains and some of their implications in optics. *J. Opt. Soc. Am.* **25**(3), 647–652 (2008)
- [38]. I Gradshteyn, I Ryzhik, *Table of Integrals, Series, and Products*. (San Diego, CA: Academic, 1980)